

# title here

Felipe B. Pinto 61387 – MIEQB

25 de novembro de 2023

<b>I</b>	<b>Resumo</b>	<b>2</b>
<b>II</b>	<b>Introdução</b>	<b>3</b>
1	Procedimento Experimental . . . . .	3
2	Montagem Experimental . . . . .	3
3	?? . . . . .	3
4	Modelos usados . . . . .	3
<b>III</b>	<b>Resultados Experimentais e Discussões</b>	<b>5</b>
1	Determinar o valor de $k'_{La}$ de transferencia de Oxigênio no meio biológico antes da inoculação . . . . .	6
2	Determinação da concentração celular máxima que poderia alcançar no sistema estudado (válida a equação logística). Simular a curva de crescimento e comparar com os dados experimentais. . . . .	7
<b>IV</b>	<b>Conclusão</b>	<b>10</b>
<b>V</b>	<b>Bibliografia</b>	<b>11</b>
<b>VI</b>	<b>Anéxos</b>	<b>12</b>

---

## I – Resumo

---

A realização desta atividade tem como objetivo a percepção do funcionamento da transferência de oxigênio em sistemas biológicos.

Neste trabalho foi usado um reator batch com agitação e arejamento através de um dispersor de oxigênio com uma cultura de microrganismos aeróbica. Para se variar a concentração de oxigênio usou-se um respirómetro e para analisar essa variação utilizou-se um medidor de oxigênio

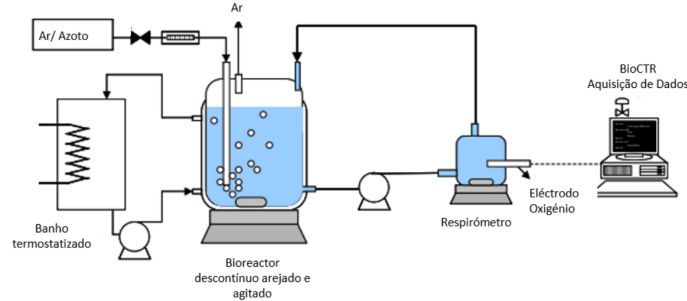
---

## II – Introdução

---

### 1 Procedimento Experimental

### 2 Montagem Experimental



### 3 ??

$$Q_{O_2} = k'_{La}(C_{O_2}^* - C_{O_2}) = \frac{dC_{O_2}}{dt} \implies \ln(C_{O_2}^* - C_{O_2}) = \ln C_{O_2}^* - k'_{La} t$$

implica que  $\ln(C_{O_2}^* - C_{O_2}) \times t$  plota uma reta  $y = ax + b$  onde  $k'_{La} = -a$  e  $C_{O_2}^* = \exp(b)$ . Encontrando  $k'_{La}$  podemos plotar o gráfico de  $Q_{O_2} \times t$ .

$$C_{O_2}^*$$

$$C_{O_2}^* = 1.16 \frac{\text{mmol}_{Ar}}{L} \frac{20.95 \text{ mmol}_{O_2}}{100 \text{ mmol}_{Ar}} \frac{32 \text{ mg}}{\text{mmol}} \cong 7.78 \text{ mg/L}$$

### 4 Modelos usados

#### 4.1 Modelo de Verhulst

$$x = \frac{x_{\max} x_0 \exp(\mu_{\max} t)}{x_{\max} - x_0(1 - \exp(\mu_{\max} t))} = \frac{\exp(\mu_{\max} t)}{x_0^{-1} - x_{\max}^{-1}(1 - \exp(\mu_{\max} t))}$$

Encontrando  $\mu_{\max}$  e  $x_{\max}$  para cada modelo podemos prever os respectivos valores de  $x$  e assim encontrar o que mais se aproxima dos valores experimentais.

#### 4.2 Método de Malthus

$$\frac{dX}{dt} = \mu X \implies \ln X = \mu t + \ln X_0; \quad \mu = \mu_{\max}$$

### 4.3 Método de Euler

$$\mu_i = \frac{x_i - x_{i-1}}{t_i - t_{i-1}} x_i^{-1} \quad \mu = \mu_{\max} - \frac{\mu_{\max}}{x_{\max}} x$$

### 4.4 Método dos 3 pontos

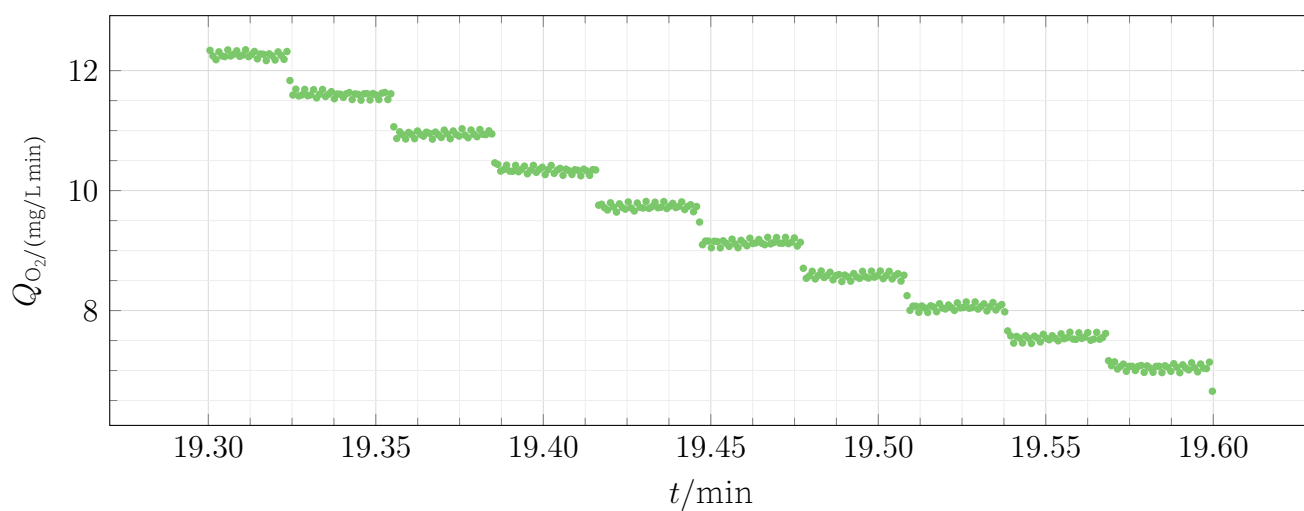
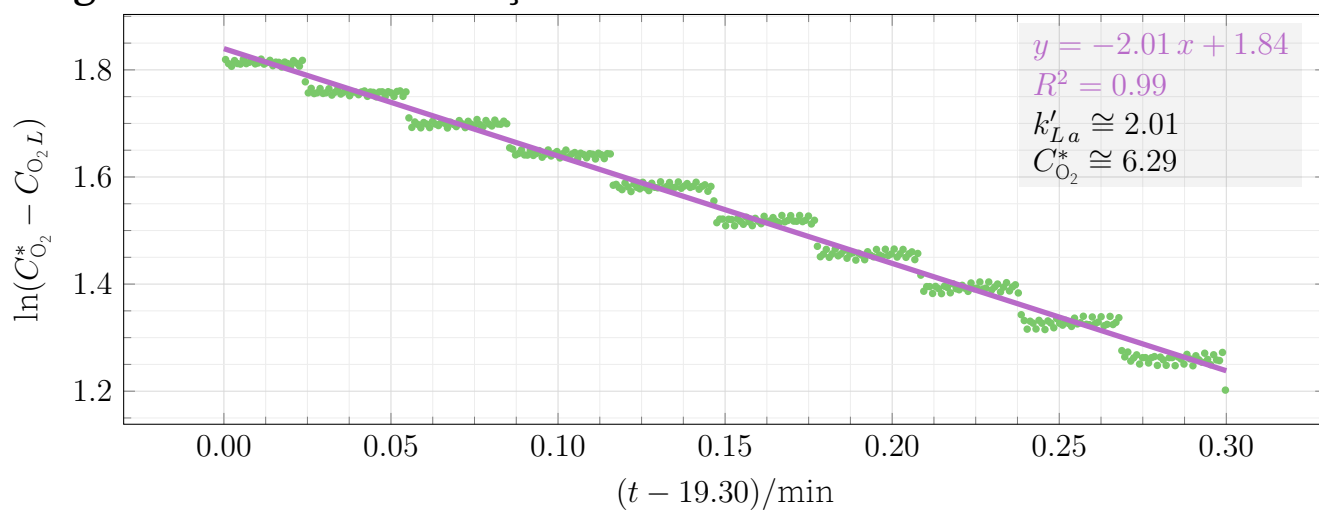
$$\mu_i = \frac{x_{i+1} - x_{i-1}}{t_{i+1} - t_{i-1}} x_i^{-1} \quad \mu = \mu_{\max} - \frac{\mu_{\max}}{x_{\max}} x$$

---

### III – Resultados Experimentais e Discussões

---

1 Determinar o valor de  $k'_{La}$  de transferencia de Oxigênio no meio biológico antes da inoculação



2 Determinação da concentração celular máxima que poderia alcançar no sistema estudado (válida a equação logística). Simular a curva de crescimento e comparar com os dados experimentais.

### 2.1 Método de Malthus

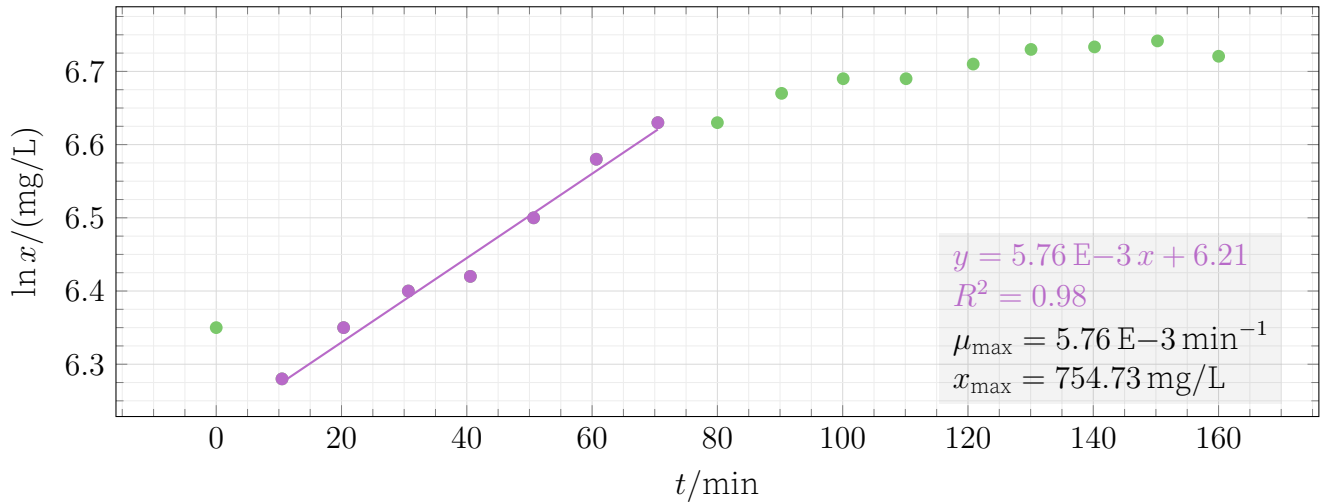
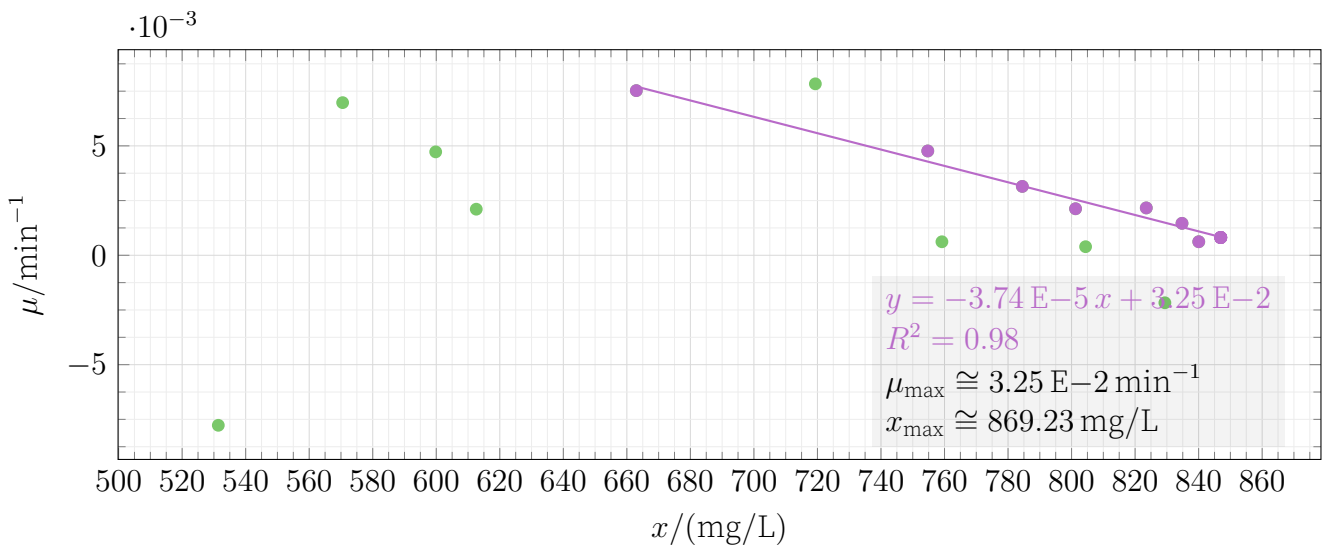
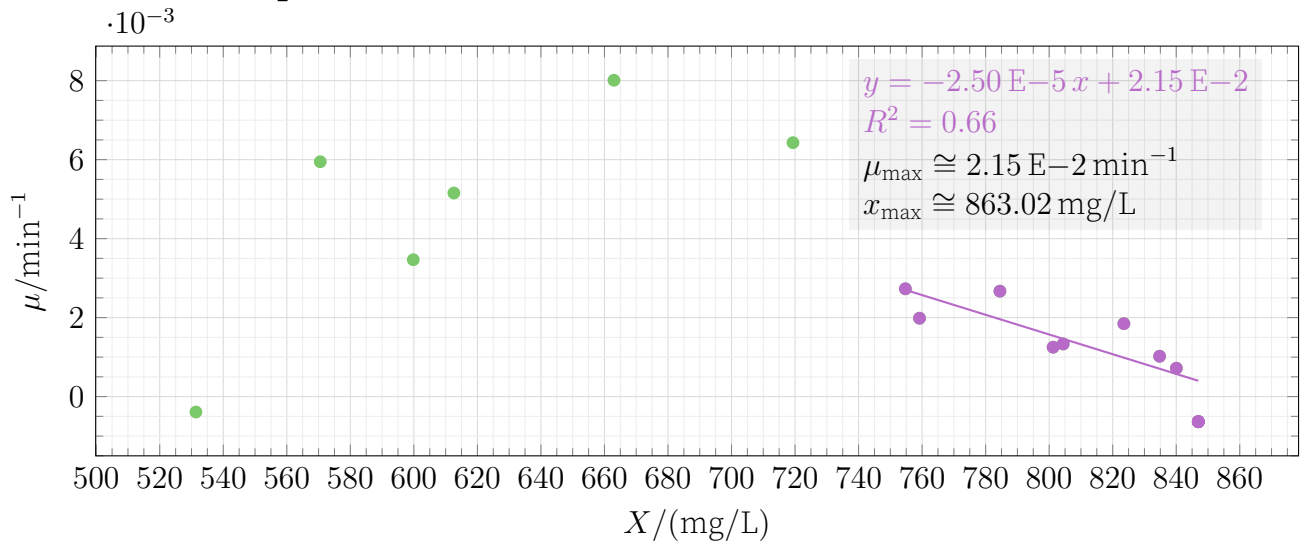


Figura 1: Curva aplicando o modelo de Malthus de onde pela porção exponencial no tempo de  $\ln x$  podemos traçar uma regreção linear que segue o método de Malthus

### 2.2 Método de Euler



### 2.3 Método dos 3 pontos



### 2.4 Método Polinômial

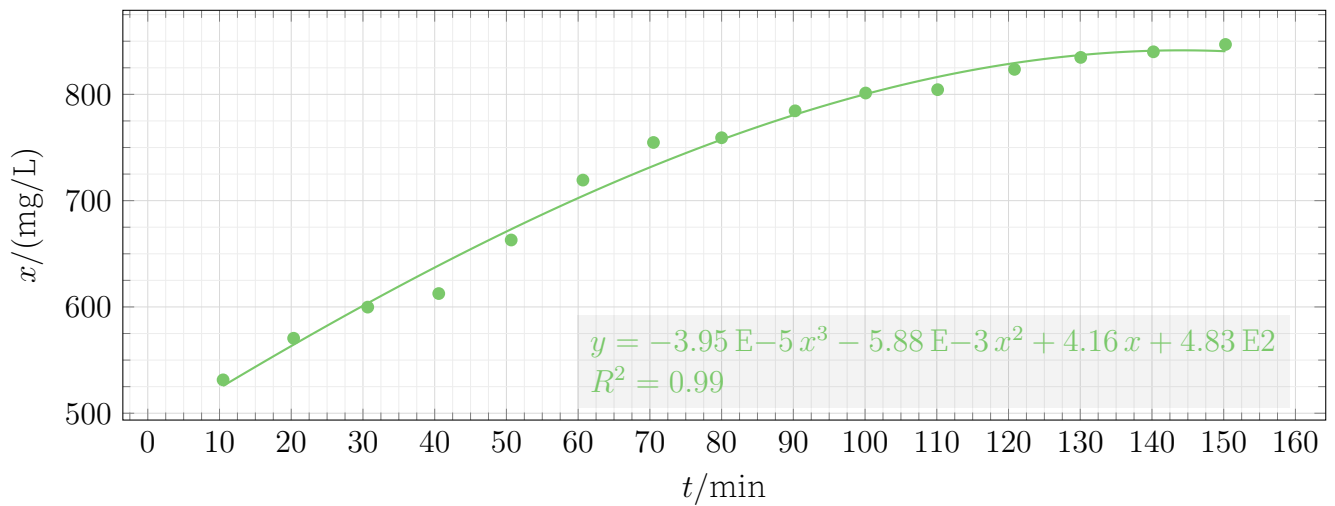


Figura 2: Gráfico  $X/(\text{mg/L}) \times t/\text{min}$  apresentando o método polinomial com um polinômio de 3º grau, pelo método polinomial  $dx/dt = y$ .

$$\mu = \frac{dx/dt}{x} = \frac{-11.85 \text{ E-}5 t^2 - 11.76 \text{ E-}3 t + 4.16}{x}$$



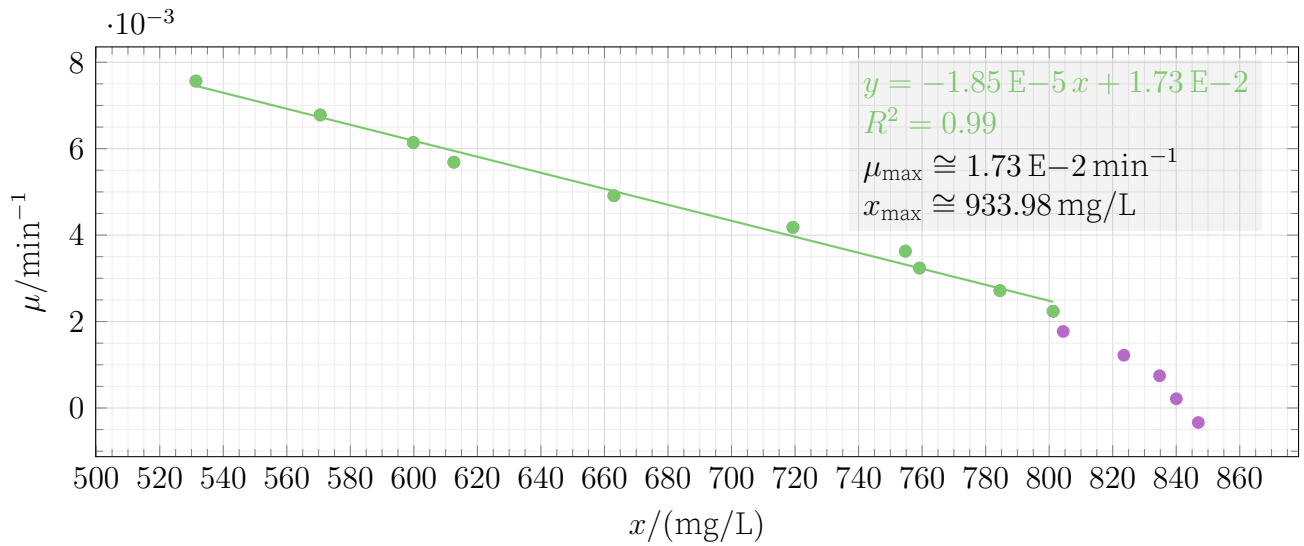


Figura 3: Grafico  $\mu \times x$  para valores obtidos de  $\mu$  a partir da equação polinomial de 3º grau obtida no método polinomial, os valores para  $x \geq 804.42$  foram desconsiderados para maximizar  $R^2$

## 2.5 Comparando

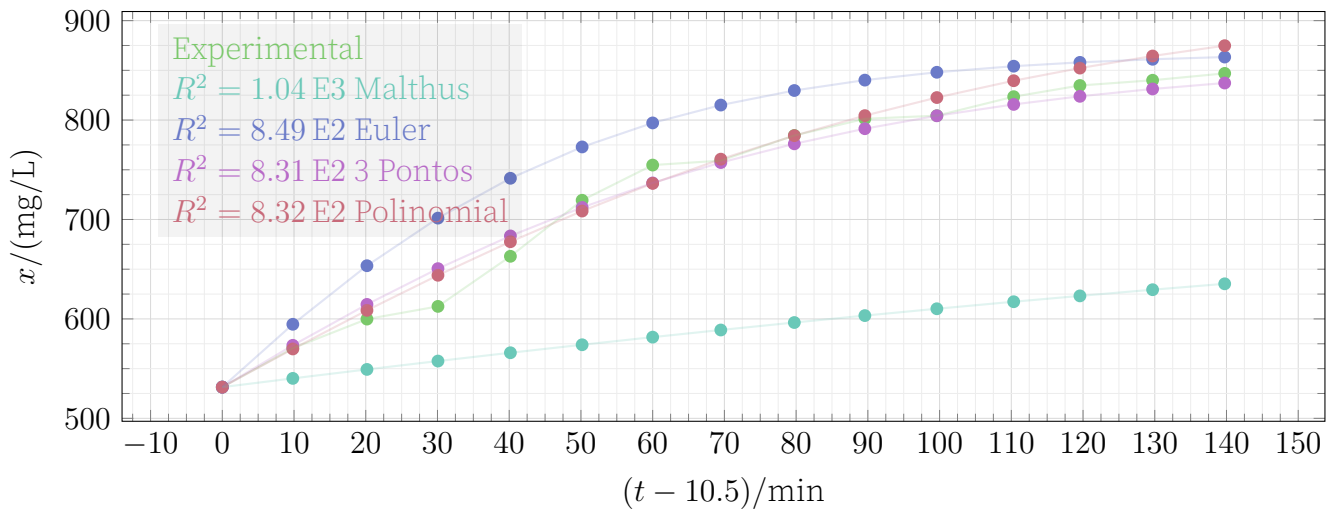


Figura 4: Grafico  $x \times t$  para valores experimentais e valores previstos pelos modelos estudados, o valor de 10.5 foi reduzido de  $t$  para eliminar o *outliner* e acomodar a previsão dos modelos

---

## IV – Conclusão

---

---

## V – Bibliografia

---

---

## VI – Anéxos

---